

Дихотомия матричного спектра мнимой осью.

Бибердорф Э.А.

Алгоритм дихотомии спектра матричного пучка единичной окружностью

Задано:

матричный пучок $A_0 - \lambda B_0$;

ε_{it} — требуемая точность итерационного процесса;

$\omega_{\max}, \mu_{\max}$ — большие положительные числа, $C = C^* > 0$.

Шаг 1

Если $\mu(A_0 - B_0) > \mu_{\max}$, то “Дихотомия невозможна”, конец расчетов.

$$H^{(0)} = (A_0 - B_0)^{-1}(A_0 C A_0^* + B_0 C B_0^*)(A_0 - B_0)^{-*}$$

Цикл пока $\|H^{(k)} - H^{(k-1)}\| > \varepsilon_{it}$

Если $\|H^{(k)}\| \geq \omega_{\max}$ или $\mu(A_k + B_k) > \mu_{\max}$, то “Дихотомия невозможна”, конец расчетов.

$$\begin{aligned} V^{(k+1)} &= (A_k + B_k)^{-1} A_k, \quad U^{(k+1)} = I - V^{(k+1)} \\ H^{(k+1)} &= U^{(k+1)} H^{(k)} U^{(k+1)*} + V^{(k+1)} H^{(k)} V^{(k+1)*} \\ \text{qr} \left(\begin{bmatrix} -B_k & A_k & 0 \\ A_k & 0 & -B_k \end{bmatrix} \right) &= \begin{bmatrix} * & * & * \\ 0 & A_{k+1} & -B_{k+1} \end{bmatrix} \end{aligned}$$

Конец цикла

Одномерные спектральные портреты

Пусть $\gamma(a)$ – однопараметрическое семейство кривых. График функции $\omega(a) = \|H_{\gamma(a)}(A)\|$ называется одномерным спектральным портретом.

Если $\gamma(r)$ – семейство окружностей с центром в начале координат и радиусом r , тогда $\omega(r) = \|H_{\gamma(r)}(A)\|$ – радиальный спектральный портрет

Те значения параметра, при которых $\|H\|$ велика и график "уходит на бесконечность" могут образовывать целые интервалы, которые называются одномерными спектральными пятнами. Именно внутри этих пятен находятся такие r , что $|\lambda(A)| = r$. Таким образом при помощи радиального портрета выделяются кольца, внутри которых располагается спектр матрицы.

Для визуального анализа удобно изображение графика $\log_{10} \omega(r)$.

Анализ одномерного матричного портрета и приведение матрицы к каноническому виду

Вне спектральных пятен на каждом связном интервале $\omega(r)$ – выпуклая вниз функция. Для всех значений параметра r , принадлежащих одному такому фиксированному интервалу инвариантное подпространство, отвечающее собственным значениям матрицы A , лежащим внутри круга $|\lambda| = r$, одно и то же. Следовательно проектор $P = P(r)$ на это инвариантное подпространство не зависит от выбора параметра r из данного интервала.

Если выбрать параметры r_1 и r_2 из двух соседних интервалов, где $\|H_r\|$ конечна, то разность $P(r_2) - P(r_1)$ является проектором на инвариантное подпространство матрицы A , соответствующее собственным значениям из спектрального пятна, разделяющего эти интервалы. Таким образом вычисляются проекторы P_1, \dots, P_k для каждого спектрального пятна. Производится их сингулярное разложение

$$P_i = [U_i : W_i] \begin{bmatrix} \Sigma_i & 0 \\ 0 & 0 \end{bmatrix} V_i.$$

Анализ одномерного матричного портрета и приведение матрицы к каноническому виду

$$P_i = [U_i : W_i] \begin{bmatrix} \Sigma_i & 0 \\ 0 & 0 \end{bmatrix} V_i.$$

Выделяются базисы инвариантных подпространств U_1, \dots, U_k , а затем исходная матрица A приводится к клеточно-диагональному виду:

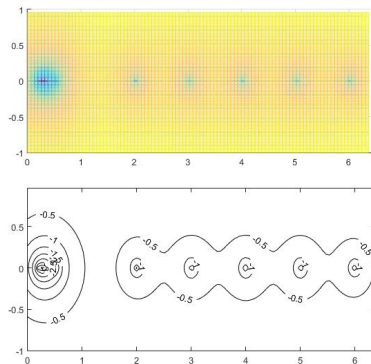
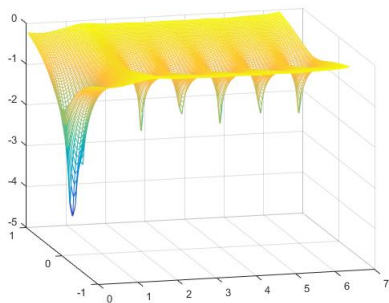
$$A = [U_1 : U_2 : \dots : U_k] \begin{bmatrix} A_1 & 0 & 0 & 0 \\ 0 & A_2 & 0 & 0 \\ 0 & 0 & \ddots & 0 \\ 0 & 0 & 0 & A_k \end{bmatrix} [U_1 : U_2 : \dots : U_k]^{-1}.$$

Здесь число диагональных клеток A_i равно числу спектральных пятен, выделенных при помощи одномерного спектрального портрета, а их размеры равны числу собственных значений в соответствующем спектральном пятне.

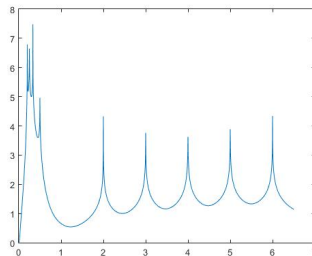
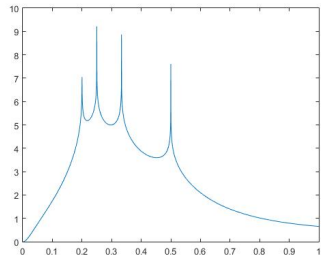
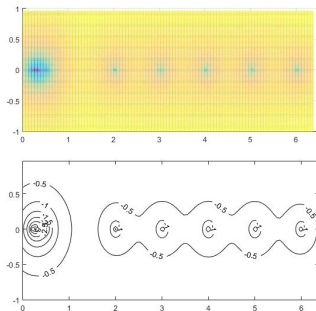
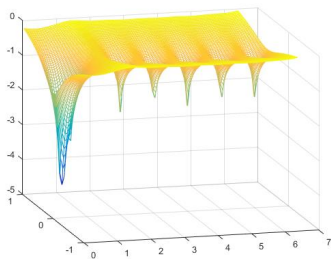
Пример

$$A = \begin{pmatrix} 6 & 1/2 & 0 & 0 & 0 & 0 & 0 & 0 & 0 \\ 0 & 5 & 1/2 & 0 & 0 & 0 & 0 & 0 & 0 \\ 0 & 0 & 4 & 1/2 & 0 & 0 & 0 & 0 & 0 \\ 0 & 0 & 0 & 3 & 1/2 & 0 & 0 & 0 & 0 \\ 0 & 0 & 0 & 0 & 2 & 0 & 0 & 0 & 0 \\ 0 & 0 & 0 & 0 & 0 & 1/2 & 1/2 & 0 & 0 \\ 0 & 0 & 0 & 0 & 0 & 0 & 1/3 & 1/2 & 0 \\ 0 & 0 & 0 & 0 & 0 & 0 & 0 & 1/4 & 1/2 \\ 0 & 0 & 0 & 0 & 0 & 0 & 0 & 0 & 1/5 \end{pmatrix}$$

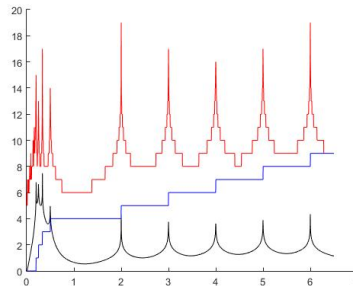
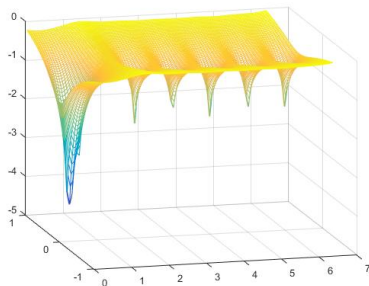
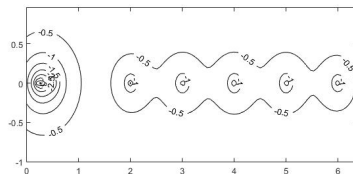
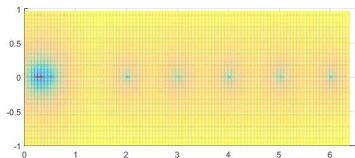
Пример. Спектральный портрет матрицы A



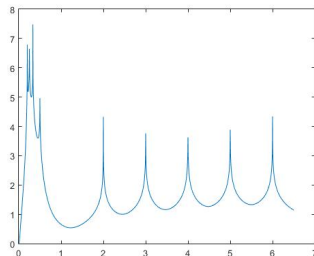
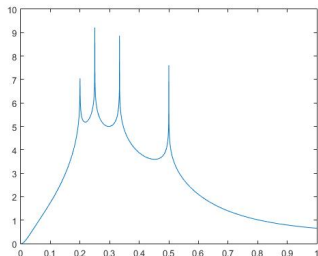
Пример. Спектральный портрет матрицы A



Пример. Спектральный портрет матрицы A



Пример.



Вычисляем проекторы в точках $r = 0.3, 0.4, 1, 2.5, 3.5, 4.5, 5.5$:

$$P(0.3), P(0.4), P(1), P(2.5), P(3.5), P(4.5), P(5.5).$$

Определяем проекторы на инвариантные подпространства,
соответствующие спектральным пятнам

$$P_1 = P(0.3), P_2 = P(0.4) - P(0.3), P_3 = P(1) - P(0.4), P_4 = P(2.5) - P(1),$$
$$P_5 = P(3.5) - P(2.5), P_6 = P(4.5) - P(3.5), P_7 = P(5.5) - P(4.5), P_8 = I - P(5.5)$$

Пример. Проектор

Рассмотрим $P_1 = P(0.3)$.

След $\text{tr}P_1 = 1.999999999998068$

Сингулярное разложение $P_1 = U\Sigma V^*$

Сингулярные числа: $65.58, 1.57, 0.24 \cdot 10^{-13}, 0, 0, \dots, 0$.

$$U = \begin{pmatrix} -0.0001 & 0.0001 & -0.0001 & 0.3955 & 0.1267 & 0.8970 & -0.1498 & 0.0240 & -0.0036 \\ 0.0007 & -0.0006 & 0.0007 & -0.1283 & 0.9755 & -0.1053 & -0.1401 & 0.0239 & -0.0270 \\ -0.0066 & 0.0050 & -0.0056 & 0.0139 & -0.0125 & 0.0023 & -0.0186 & -0.4949 & -0.8685 \\ 0.0487 & -0.0323 & 0.0337 & -0.0348 & -0.0546 & -0.0430 & -0.5229 & -0.7306 & 0.4269 \\ -0.2633 & 0.1359 & -0.1272 & 0.6037 & -0.0486 & -0.3593 & -0.5502 & 0.2812 & -0.1354 \\ 0.8957 & -0.2425 & 0.1811 & 0.2536 & 0.0001 & -0.1310 & -0.0966 & 0.1061 & -0.0640 \\ -0.3547 & -0.7179 & 0.5391 & 0.2109 & 0.0374 & -0.0773 & 0.1172 & -0.0466 & 0.0217 \\ 0.0032 & 0.6231 & 0.6042 & 0.3162 & 0.0815 & -0.0955 & 0.3018 & -0.1747 & 0.0964 \\ 0.0149 & -0.1343 & -0.5424 & 0.5025 & 0.1374 & -0.1456 & 0.5171 & -0.3116 & 0.1748 \end{pmatrix}$$

Пример. Проектор

Рассмотрим $P_4 = P(2.5) - P(1)$.

След $\text{tr}P_4 = 0.999999999927145$

Сингулярное разложение $P_4 = U\Sigma V^*$

Сингулярные числа: $1.19, 0.3 \cdot 10^{-10}, 0.7 \cdot 10^{-12}, 0.4 \cdot 10^{-16}, 0, 0, \dots, 0$.

$$U = \begin{pmatrix} -0.0023 & 0.0007 & -0.0196 & -0.0072 & 0.8963 & 0.2839 & -0.3352 & 0.0443 & 0.0361 \\ 0.0185 & -0.0050 & 0.1149 & -0.0021 & 0.0909 & -0.0871 & 0.0692 & -0.9396 & 0.2881 \\ -0.1111 & 0.0269 & -0.4406 & 0.0075 & -0.3835 & 0.3779 & -0.6809 & -0.1336 & 0.1464 \\ 0.4444 & -0.0787 & 0.7675 & 0.0039 & -0.1844 & 0.2058 & -0.3561 & 0.0516 & 0.0380 \\ -0.8887 & -0.0428 & 0.4413 & 0.0010 & -0.0447 & 0.0531 & -0.0906 & 0.0228 & 0.0066 \\ 0.0000 & 0.9956 & 0.0922 & 0.0001 & -0.0063 & 0.0077 & -0.0131 & 0.0039 & 0.0008 \\ 0.0000 & 0.0000 & 0.0000 & -0.9998 & -0.0092 & -0.0099 & -0.0114 & 0.0018 & 0.0012 \\ 0 & -0.0000 & -0.0000 & 0.0021 & 0.0103 & -0.1306 & -0.2206 & -0.2862 & -0.9232 \\ -0.0000 & -0.0000 & -0.0000 & 0.0137 & 0.0714 & -0.8406 & -0.4851 & 0.1108 & 0.2013 \end{pmatrix}$$

Пример. Клеточно-диагональный вид матрицы

$$T = [U_1 : U_2 : \dots : U_8]$$

$$T^{-1}AT =$$

$$\begin{pmatrix} 0.3056 & 0.4902 & 0 & 0 & 0 & 0 & 0 & 0 & 0 \\ 0.0120 & 0.1444 & 0 & 0 & 0 & 0 & 0 & 0 & 0 \\ 0 & 0 & 0.3333 & 0 & 0 & 0 & 0 & 0 & 0 \\ 0 & 0 & 0 & 0.5 & 0 & 0 & 0 & 0 & 0 \\ 0 & 0 & 0 & 0 & 2 & 0 & 0 & 0 & 0 \\ 0 & 0 & 0 & 0 & 0 & 3 & 0 & 0 & 0 \\ 0 & 0 & 0 & 0 & 0 & 0 & 4 & 0 & 0 \\ 0 & 0 & 0 & 0 & 0 & 0 & 0 & 5 & 0 \\ 0 & 0 & 0 & 0 & 0 & 0 & 0 & 0 & 6 \end{pmatrix}$$

Повторение: связь решений уравнений Ляпунова

$XA + A^*X + C = 0$ – непрерывное уравнение Ляпунова

$X = \int_0^\infty e^{tA^*} C e^{tA} dt$ – решение уравнение Ляпунова

Введем матрицы

$$B = e^{\tau A}, \quad F = \int_0^\tau e^{tA^*} C e^{tA} dt$$

Рассмотрим дискретное уравнение Ляпунова $Y - B^* Y B = F$.

Тогда $X = Y$. Действительно,

$$\begin{aligned} Y &= \sum_{k=0}^{\infty} (B^*)^k F B^k = \sum_{k=0}^{\infty} e^{k\tau A^*} \left(\int_0^\tau e^{tA^*} C e^{tA} dt \right) e^{k\tau A} = \\ &= \sum_{k=0}^{\infty} \left(\int_0^\tau e^{(t+k\tau)A^*} C e^{(t+k\tau)A} dt \right) = \sum_{k=0}^{\infty} \int_{k\tau}^{(k+1)\tau} e^{tA^*} C e^{tA} dt = \int_0^\infty e^{tA^*} C e^{tA} dt = \\ &= X \end{aligned}$$

Алгоритм дихотомии мнимой осью

Задана матрица A .

1. Нормировка матрицы A : $\tilde{A} = \tau A$, где $\tau = 1/2\|A\|$.
2. Вычислить матрицу $B = e^{\tilde{A}}$.
3. Применить алгоритм дихотомии единичной окружностью к пучку $B - \lambda I$ и вычислить $\omega_{\text{cal}} = \|H_{\text{cal}}\|$ и P_{cal} .

В данном случае матрицы A и B одновременно приводятся к блочно-диагональной форме

$$A = (W_1 \mid W_2) \begin{pmatrix} A_1 & 0 \\ 0 & A_2 \end{pmatrix} (W_1 \mid W_2)^{-1},$$

$$B = (W_1 \mid W_2) \begin{pmatrix} B_1 & 0 \\ 0 & B_2 \end{pmatrix} (W_1 \mid W_2)^{-1},$$

где спектры матриц A_1, A_2 лежат справа и слева от мнимой оси, а спектры матриц B_1, B_2 внутри и вне единичного круга соответственно.

Линейный спектральный портрет

Пусть $\gamma(a) = \{\lambda = a + it, t \in \mathbb{R}\}$. График функции $\omega(a) = \|H_{\gamma(a)}(A)\|$ – одномерный линейный спектральный портрет.

Вне спектральных пятен (график "уходит на бесконечность") на каждом связном интервале $\|H_{\gamma(a)}(A)\|$ – выпуклая вниз функция. Для всех значений параметра a , принадлежащих одному такому фиксированному интервалу, инвариантное подпространство, отвечающее собственным значениям матрицы A , лежащим левее прямой $\operatorname{Re} \lambda = a$, одно и то же. Следовательно, проектор $P = P_a$ на это инвариантное подпространство не зависит от выбора параметра a из данного интервала.

Если выбрать параметры a_1 и a_2 из двух соседних интервалов, где $\omega(a) = \|H_{\gamma(a)}(A)\|$ конечна, то разница $P_{a_2} - P_{a_1}$ является проектором на инвариантное подпространство матрицы A , соответствующее собственным значениям из спектрального пятна, разделяющего эти интервалы.

Анализ линейного спектрального портрета

Если вычислить проекторы P_1, \dots, P_k для каждого спектрального пятна и произвести их сингулярное разложение

$$P_i = (U_i \vdash W_i) \begin{pmatrix} \Sigma_i & 0 \\ 0 & 0 \end{pmatrix} V_i,$$

то базисы инвариантных подпространств – U_1, \dots, U_k .

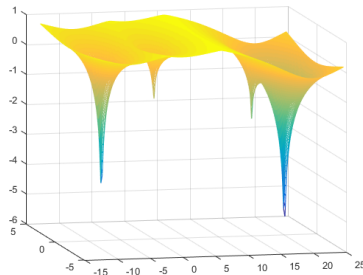
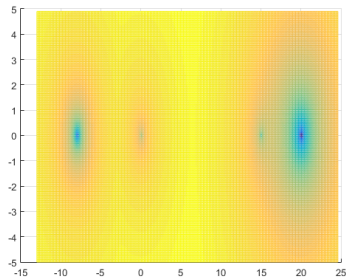
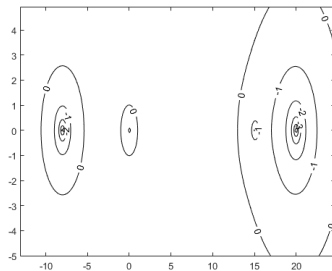
Исходная матрица A приводится к клеточно-диагональному виду:

$$A = (U_1 \vdash U_2 \vdash \dots \vdash U_k) \begin{pmatrix} A_1 & & 0 \\ & A_2 & \\ & & \ddots \\ 0 & & & A_k \end{pmatrix} (U_1 \vdash U_2 \vdash \dots \vdash U_k)^{-1}.$$

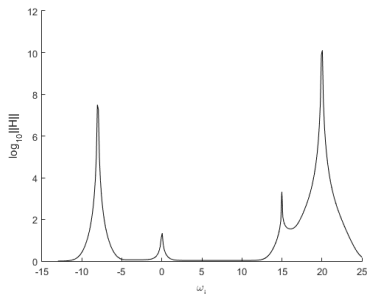
Здесь число диагональных клеток A_i равно числу спектральных пятен, выделенных при помощи одномерного спектрального портрета, а их размеры равны числу собственных значений в соответствующем спектральном пятне.

Численные примеры

$$A = \begin{pmatrix} 20 & 14 & 0 & 0 & 0 & 0 & 0 & 0 \\ 0 & 20 & 10 & 0 & 0 & 0 & 0 & 0 \\ 0 & 0 & 20 & 3 & 0 & 0 & 0 & 0 \\ 0 & 0 & 0 & 15 & 1 & 0 & 0 & 0 \\ 0 & 0 & 0 & 0 & 0 & 1 & 0 & 0 \\ 0 & 0 & 0 & 0 & 0 & -8 & 2 & 0 \\ 0 & 0 & 0 & 0 & 0 & 0 & -8 & 4 \\ 0 & 0 & 0 & 0 & 0 & 0 & 0 & -8 \end{pmatrix}$$



Численные примеры



Вычисляем проекторы в точках -6, 6 и 17:

$$P(-6), P(6), P(17).$$

Определяем проекторы на инвариантные подпространства, соответствующие спектральным пятнам

$$P_1 = P(-6), P_2 = P(6) - P(-6), P_3 = P(17) - P(6), P_4 = I - P(17).$$

Численные примеры

Проводим сингулярное разложение проекторов P_1, P_2, P_3, P_4 . Например,

$$P_1 = \widetilde{U}_1 \begin{pmatrix} 1.0084 & 0 & 0 & 0 & 0 & 0 & 0 & 0 \\ 0 & 1 & 0 & 0 & 0 & 0 & 0 & 0 \\ 0 & 0 & 1 & 0 & 0 & 0 & 0 & 0 \\ 0 & 0 & 0 & 0 & 0 & 0 & 0 & 0 \\ 0 & 0 & 0 & 0 & 0 & 0 & 0 & 0 \\ 0 & 0 & 0 & 0 & 0 & 0 & 0 & 0 \\ 0 & 0 & 0 & 0 & 0 & 0 & 0 & 0 \\ 0 & 0 & 0 & 0 & 0 & 0 & 0 & 0 \end{pmatrix} V_1$$

$$\widetilde{U}_i = [U_i, W_i]$$

U_i – столбцы, соответствующие ненулевой клетке

Так как $\text{tr}(P_2) = \text{tr}(P_3) = 1$, то

$$U_2 = [-0.0035, 0.0050, -0.01, 0.0665, -0.9977, 0, 0, 0]^T$$

$$U_3 = [-0.8951, 0.3197, -0.1598, 0.2664, 0, 0, 0, 0]^T$$

– собственные векторы, соответствующие собственным значениям $\lambda = 0$,
 $\lambda = 15$.

Численные примеры

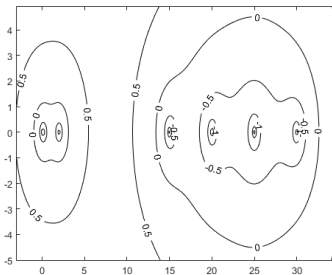
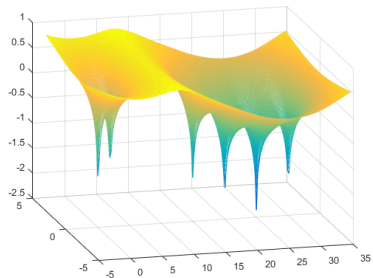
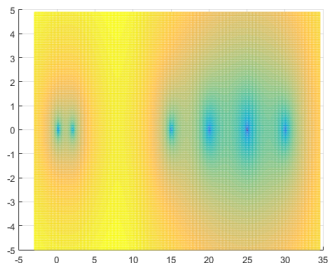
$S = [U_1, U_2, U_3, U_4]$ – матрица перехода, $\mu(S) = 7.3888$

$$S^{-1}AS =$$
$$= \begin{pmatrix} -7.4183 & 1.3435 & 1.6019 & 0 & 0 & 0 & 0 & 0 & 0 \\ 0.3519 & -9.7737 & 3.1147 & 0 & 0 & 0 & 0 & 0 & 0 \\ 0.0810 & -0.9809 & -6.8080 & 0 & 0 & 0 & 0 & 0 & 0 \\ 0 & 0 & 0 & 15 & 0 & 0 & 0 & 0 & 0 \\ 0 & 0 & 0 & 0 & 15.1386 & -6.8298 & -10.4777 & 0 & 0 \\ 0 & 0 & 0 & 0 & 0.7610 & 18.4180 & 4.4090 & 0 & 0 \\ 0 & 0 & 0 & 0 & -0.2965 & -7.1980 & 26.4434 & 0 & 0 \end{pmatrix}$$

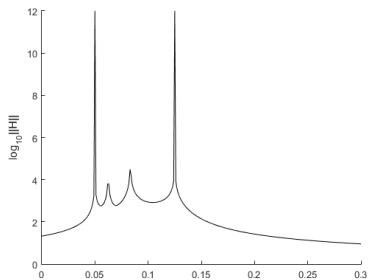
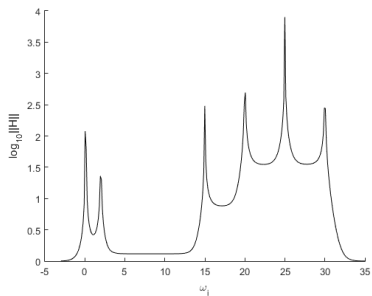
Численные примеры

A =

$$\begin{pmatrix} 30 & 14 & 0 & 0 & 0 & 0 & 0 & 0 & 0 \\ 0 & 25 & 10 & 0 & 0 & 0 & 0 & 0 & 0 \\ 0 & 0 & 20 & 5 & 0 & 0 & 0 & 0 & 0 \\ 0 & 0 & 0 & 15 & 3 & 0 & 0 & 0 & 0 \\ 0 & 0 & 0 & 0 & 2 & 1 & 0 & 0 & 0 \\ 0 & 0 & 0 & 0 & 0 & \frac{1}{8} & 0.1 & 0 & 0 \\ 0 & 0 & 0 & 0 & 0 & 0 & \frac{1}{12} & 0.01 & 0 \\ 0 & 0 & 0 & 0 & 0 & 0 & 0 & \frac{1}{16} & 0.01 \\ 0 & 0 & 0 & 0 & 0 & 0 & 0 & 0 & \frac{1}{20} \end{pmatrix}$$



Численные примеры



Флаттер

(от англ. flutter – дрожание, вибрация) - сочетание самовозбуждающихся незатухающих изгибающих и/или крутящих колебаний, возникающих при достижении некоторой критической скорости, зависящей от характеристик конкретного элемента летательного аппарата: крыла или других элементов конструкции самолета; несущего винта вертолета; пропеллеров мультикоптера.

Такие колебания в случае резонанса способны даже разрушить аппарат в воздухе.

Причиной флаттера обычно является недостаточная жесткость конструкции элемента, а также несовпадение центра жесткости с центром давления.

Одними из первых математических работ по предотвращению флаттера являются работы М.В. Келдыша. Его теоретические результаты не только привели к пониманию этого эффекта, но и к разработке эффективных мер по предотвращению возникновения флаттера.

Модель флаттера

Крыло-пластина

$$(G + v^2 F)y + vDy' + y'' = 0$$

v – скорость потока,

G – матрица частот собственных колебаний,

vD – матрица трения,

$v^2 F$ – матрица взаимодействий между частями крыла,

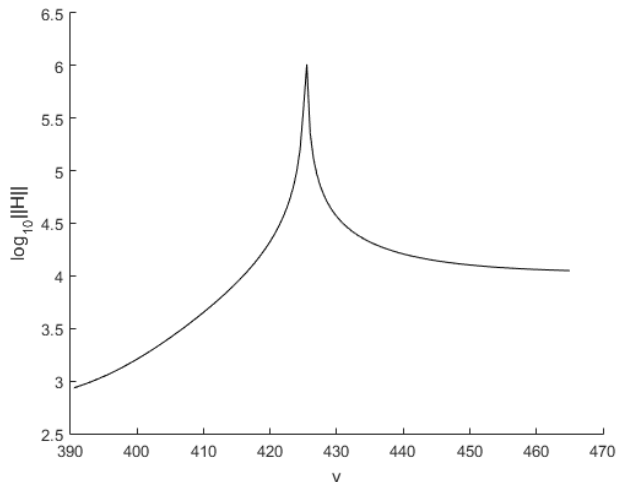
y – вектор перемещений.

$$\frac{dz}{dt} = Az, \quad z = \begin{pmatrix} y \\ y' \end{pmatrix}, \quad A = \begin{pmatrix} -vD & -(G + v^2 F) \\ I & 0 \end{pmatrix}, \quad D = 0.73 \cdot 10^{-2} I$$

$$G = \begin{pmatrix} 37.7 & & & \\ & 169 & & \\ & & 899 & \\ & & & 1792 \end{pmatrix}, \quad F = 10^{-3} \begin{pmatrix} 0 & -1.97 & 0 & 0 \\ 0.12 & 0 & -4.19 & 0.171 \\ 0 & 0.176 & 0 & 0 \\ 0 & -0.154 & 0 & 0 \end{pmatrix}$$

Модель флаттера

График зависимости критерия дихотомии мнимой осью от скорости набегающего потока:



Дихотомия мнимой осью для матриц с большой нормой

Если норма матрицы A — велика, то вычисление матрицы e^A , может оказаться невозможным, так как значения элементов будут выходить за границы машинной арифметики.

В то же время переход к нормированной матрице τA , $\tau \approx 1/2\|A\|$ приводит к тому, что ее спектр как бы прижимается к мнимой оси, соответственно спектр матричной экспоненты $e^{\tau A}$ становится практически неотделим от единичной окружности. В итоге может быть получено слишком большое значение критерия дихотомии $\|H(A)\|$ даже в том случае, если спектр исходной матрицы находился на существенном расстоянии от мнимой оси.

Свойства метода удвоений

$$\text{qr} \left(\begin{bmatrix} -B_k & A_k & 0 \\ A_k & 0 & -B_k \end{bmatrix} \right) = \begin{bmatrix} * & * & * \\ 0 & A_{k+1} & -B_{k+1} \end{bmatrix}$$

\Downarrow

$$A_k - \lambda B_k = T_k \begin{bmatrix} \Lambda_k - \lambda I_\Lambda & 0 \\ 0 & I_M - \lambda M_k \end{bmatrix} S$$

$$A_{k+1} - \lambda B_{k+1} = T_{k+1} \begin{bmatrix} \Lambda_k^2 - \lambda I_\Lambda & 0 \\ 0 & I_M - \lambda M_k^2 \end{bmatrix} S$$

$$\det T_k \neq 0, \quad \det T_{k+1} \neq 0, \quad \det S \neq 0,$$

Дихотомия мнимой осью для матриц с большой нормой

$$\tau = 2^{-k}$$

Обозначим $A_0 = e^A$, $A_{-k} = e^{\tau A}$, тогда $A_0 = A_{-k}^{2^k}$.

Существуют матрицы S , L_0 , L_∞ такие, что

$$A_{-k} = S^{-1} \begin{pmatrix} L_0 & \\ & L_\infty \end{pmatrix} S,$$

где S — невырождена, спектр L_0 лежит строго внутри, а спектр L_∞ строго вне единичной окружности.

Аналогичное представление для A_0 :

$$A_0 = S^{-1} \begin{pmatrix} L_0^{2^k} & \\ & L_\infty^{2^k} \end{pmatrix} S = S^{-1} \begin{pmatrix} \Lambda_0 & \\ & \Lambda_\infty \end{pmatrix} S$$

Дихотомия мнимой осью для матриц с большой нормой

Если $B_0 = I$, то правильный результат вычисления критерия дихотомии мог бы быть получен при применении алгоритма дихотомии единичной окружностью к пучку матриц $A_0 - \lambda B_0$.

По предположению выше данный пучок регулярен на единичной окружности, следовательно имеет место каноническое разложение:

$$A_0 = T \begin{pmatrix} \Lambda & \\ & I \end{pmatrix} S, \quad B_0 = T \begin{pmatrix} I & \\ & M \end{pmatrix} S = I \Rightarrow T = S^{-1} \begin{pmatrix} I & \\ & \Lambda_\infty \end{pmatrix},$$

а спектры матриц $\Lambda = \Lambda_0$ и $M = \Lambda_\infty^{-1}$ лежат строго внутри единичной окружности.

Аналогичное разложение для пучка $A_{-k} - \lambda B_{-k} = A_{-k} - \lambda I$:

$$A_{-k} = T_{-k} \begin{pmatrix} L_0 & \\ & I \end{pmatrix} S, \quad B_{-k} = T_{-k} \begin{pmatrix} I & \\ & L_\infty^{-1} \end{pmatrix} S,$$

Дихотомия мнимой осью для матриц с большой нормой

$$A_{-k} = T_{-k} \begin{pmatrix} L_0 & \\ & I \end{pmatrix} S, \quad B_{-k} = T_{-k} \begin{pmatrix} I & \\ & L_\infty^{-1} \end{pmatrix} S,$$

Применяем к данному пучку k раз ортогональные исключения

$$\begin{bmatrix} -B_i & A_i & 0 \\ A_i & 0 & -B_i \end{bmatrix} = Q \begin{bmatrix} * & * & * \\ 0 & A_{i+1} & -B_{i+1} \end{bmatrix}$$

Получаем пучок $\tilde{A}_0 - \lambda \tilde{B}_0$ такой, что

$$\tilde{A}_0 = T_0 \begin{pmatrix} L_0^{2k} & \\ & I \end{pmatrix} S, \quad \tilde{B}_0 = T_0 \begin{pmatrix} I & \\ & (L_\infty^{-1})^{2k} \end{pmatrix} S.$$

Дихотомия мнимой осью для матриц с большой нормой

Пучок

$$\tilde{A}_0 = T_0 \begin{pmatrix} L_0^{2^k} & \\ & I \end{pmatrix} S, \quad \tilde{B}_0 = T_0 \begin{pmatrix} I & \\ & (L_\infty^{-1})^{2^k} \end{pmatrix} S.$$

отличается от пучка

$$A_0 = T \begin{pmatrix} \Lambda & \\ & I \end{pmatrix} S, \quad B_0 = T \begin{pmatrix} I & \\ & M \end{pmatrix} S,$$

только левой приводящей матрицей, так как

$$\Lambda = \Lambda_0 = L_0^{2^k}, \quad M = \Lambda_\infty^{-1} = (L_\infty^{2^k})^{-1}.$$

Но критерий дихотомии относительно единичной окружности

$$H = \frac{1}{2\pi} \int_0^{2\pi} (A - e^{i\varphi} B)^{-1} (A C A^* + B C B^*) (A - e^{i\varphi} B)^{-*} d\varphi$$

от этой матрицы не зависит.

Дихотомия мнимой осью для матриц с большой нормой

Задана матрица A , $\|A\| \gg 1$.

1. Выбрать k из условия $2^k \approx 2\|A\|$.
2. Присвоить $A_{-k} = e^{\tau A}$, где $\tau = 2^{-k}$, $B_{-k} = I$.
3. Применить k раз ортогональные исключения к матричному пучку $A_{-k} - \lambda B_{-k}$:

$$\begin{pmatrix} -B_j & A_j & 0 \\ A_j & 0 & -B_j \end{pmatrix} = Q_j \begin{pmatrix} * & * & * \\ 0 & A_{j+1} & -B_{j+1} \end{pmatrix}.$$

Результат — матричный пучок $\tilde{A}_0 - \lambda \tilde{B}_0$.

4. Применить Алгоритм 1 к пучку $\tilde{A}_0 - \lambda \tilde{B}_0$.

Дихотомия мнимой осью спектра матриц с большой нормой

Обычная схема алгоритма дихотомии
мнимой осью:

$$A_0 = \exp(\tau A), \omega_0 = 1$$

Цикл $j = 0, 1, \dots$

$$A_j - \lambda B_j \stackrel{QR}{\Rightarrow} A_{j+1} - \lambda B_{j+1}$$

$$\omega_j \Rightarrow \omega_{j+1}$$

При этом

$$(\lambda(A_j, B_j))^2 = \lambda(A_{j+1}, B_{j+1})$$

Дихотомия мнимой осью спектра матриц с большой нормой

Обычная схема алгоритма дихотомии мнимой осью:

$$A_0 = \exp(\tau A), \omega_0 = 1$$

Цикл $j = 0, 1, \dots$

$$A_j - \lambda B_j \xrightarrow{QR} A_{j+1} - \lambda B_{j+1}$$

$$\omega_j \Rightarrow \omega_{j+1}$$

При этом

$$(\lambda(A_j, B_j))^2 = \lambda(A_{j+1}, B_{j+1})$$

Модификация алгоритма дихотомии мнимой осью:

$$A_{-k} = \exp(A/2^k),$$

Цикл $j = -k, -k+1, \dots, -1$

$$A_j - \lambda B_j \xrightarrow{QR} A_{j+1} - \lambda B_{j+1}$$

При этом

$$(\lambda(A_0, B_0))^2 = \exp(\lambda(A))$$

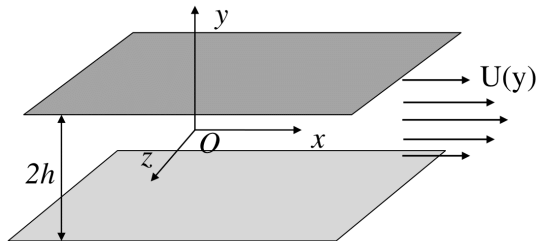
Далее обычный алгоритм дихотомии единичной окружностью:

$$\omega_0 = 1$$

Цикл $j = 0, 1, \dots$

$$A_j - \lambda B_j \xrightarrow{QR} A_{j+1} - \lambda B_{j+1}$$

Пример линейной дихотомии спектра матрицы с большой нормой.



Скорость $\vec{U}(\vec{r})$ и давление $P(\vec{r})$ установившегося течения, а также результат их возмущения $\vec{U}_1(\vec{r}) = \vec{U}(\vec{r}) + \vec{u}(\vec{r}, t)$ и $P_1(\vec{r}) = P(\vec{r}) + p(\vec{r}, t)$ удовлетворяют уравнениям Навье-Стокса. Разность двух этих систем после отбрасывания квадратичных членов представляет собой линейную систему для возмущений установившегося течения. Она должна быть дополнена условиями на плоскостях ограничивающих течение, а именно условиями прилипания и непротекания.

Турбулентность

– явление, заключающееся в том, что, обычно, при увеличении скорости течения жидкости или газа в среде самопроизвольно образуются многочисленные волны различных размеров, без наличия внешних, случайных, возмущающих среду сил и/или при их присутствии. Волны появляются случайно, и их амплитуда меняется хаотически в некотором интервале. Они возникают чаще всего либо на границе, у стенки, и/или при разрушении или опрокидывании волны. Количественные условия перехода к турбулентности были экспериментально открыты английским физиком и инженером О. Рейнольдсом в 1883 году при изучении течения воды в трубах.



Пример.

Для изучения условий роста возмущений рассматриваются частные решения вида

$$\{u, v, w, p\} = \{\hat{u}(y), \hat{v}(y), \hat{w}(y), \hat{p}(y)\} e^{i[(\alpha x + \beta z) - \omega t]},$$

Очевидно, что частное решение растёт, если $\text{Im } \omega > 0$ или $\text{Im } \alpha < 0$ или $\text{Im } \beta < 0$. При подстановке решений в описанную выше линейную систему уравнений получается, в частности, уравнение Орра-Зоммерфельда

$$\left\{ i(\alpha U - \omega) \left(\frac{d^2}{dy^2} - k^2 \right) - i\alpha U'' - \frac{1}{\text{Re}} \left(\frac{d^2}{dy^2} - k^2 \right)^2 \right\} \hat{v} = 0,$$

где $k^2 = \alpha^2 + \beta^2$, $\text{Re} = UL/\nu$ — число Рейнольдса, U , L — характерные скорость и длина рассматриваемого течения, ν — кинематический коэффициент вязкости среды. Профиль установившегося течения как правило принимается квадратичным $U(y) = 1 - y^2$ (течение Пуазейля). Условия прилипания и непротекания влекут за собой краевые условия для \hat{v} :

$$\hat{v}|_{y=\pm 1} = 0, \quad \hat{v}'|_{y=\pm 1} = 0.$$

Пример.

Дискретизация дифференциальных операторов с учетом краевых условий приводит к дискретному уравнению Орра-Зоммерфельда

$$\{(D_N^2 - k^2 I_N)^2 - i \operatorname{Re}[\operatorname{diag}(\alpha U - w)(D_N^2 - k^2 I_N) - \operatorname{diag}(\alpha U'')]\} \hat{v} = 0,$$

которое равносильно алгебраической задаче на собственные значения

$$(A - (\omega_i - i\omega_r)B) \hat{v} = 0,$$

$$A = \frac{1}{\operatorname{Re}} (D_N^2 - k^2 I)^2 - i\alpha \operatorname{diag} U (D_N^2 - k^2 I) - 2i\alpha I, \quad B = (D_N^2 - k^2 I)$$

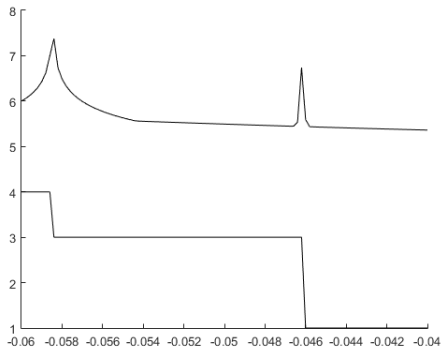
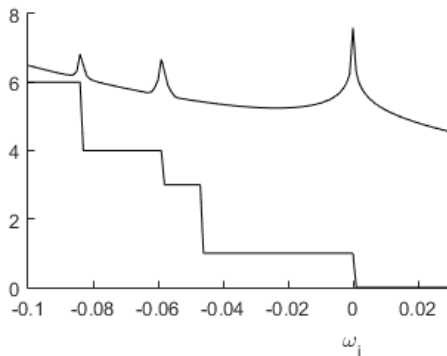
или

$$(\tilde{A} - \tilde{\omega} I) \hat{v} = 0, \text{ где } \tilde{A} = B^{-1} A, \quad \tilde{\omega} = -i\omega = \omega_i - i\omega_r.$$

Чтобы установить, устойчиво течение Пуазейля или нет, необходимо определить, есть ли в правой полуплоскости собственные значения матрицы \tilde{A} .

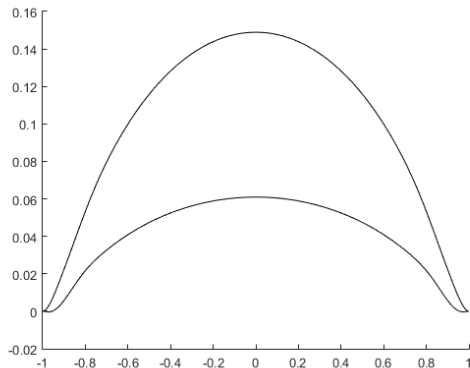
Пример.

$\text{Re} = 5900$, $\alpha = 1.02$, $\beta = 0$, $N = 50$



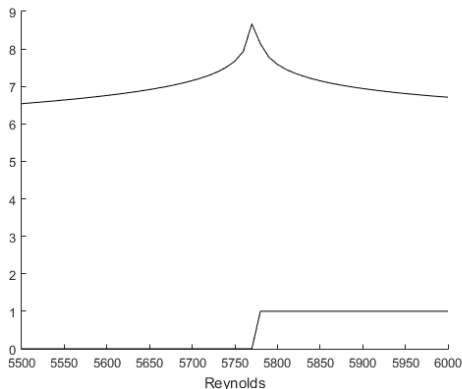
$\log_{10} \|\tilde{A} - \omega_i I\|$ (кривая), $\text{tr}P(\tilde{A} - \omega_i I)$ (ломаная)

Пример.



Вещественная и мнимая части собственной функции $\hat{v}(y)$ оператора Орра-Зоммерфельда, соответствующей неустойчивому собственному значению ω ($\text{Im}\omega > 0$) при $\text{Re} = 5900$, $\alpha = 1.02$, $\beta = 0$, $N = 50$.

Пример.



спектральный портрет в зависимости от числа Рейнольдса при $\alpha = 1.02$, $\beta = 0$, $N = 50$, $\log_{10} \|\mathbf{H}(\tilde{\mathbf{A}}(\text{Re}))\|$ (кривая), $\text{trP}(\tilde{\mathbf{A}}(\text{Re}))$ (ломаная).

Полученные результаты полностью соответствуют известному факту, что плоско-параллельное течение Пуазейля теряет устойчивость при $\text{Re} = 5772.22$, $\alpha = 1.02$, $\beta = 0$.